

H₂O₂与UV工艺对铜绿微囊藻灭活特点比较

郭建伟¹, 张永吉^{1*}, 曾果¹, 周玲玲², 高一²

(1. 长江水环境教育部重点实验室(同济大学), 上海 200092; 2. 同济大学污染控制与资源化研究重点实验室, 上海 200092)

摘要:以铜绿微囊藻为研究对象,考察了H₂O₂与UV工艺对铜绿微囊藻的灭活特点及光合活性的影响。结果表明,在0~2 mmol·L⁻¹ H₂O₂投加范围内,随H₂O₂投加量的增大,对铜绿微囊藻的灭活效果不断提高,藻的光合活性不断下降;而投加量超过2 mmol·L⁻¹后,灭活率并无明显提高;UV工艺对铜绿微囊藻有较好的灭活效果,在藻浓度为35×10⁸个/L条件下,紫外线剂量达91.8 mJ·cm⁻²即可使藻停滞生长7 d以上;UV工艺对藻光合活性的降低效率高于H₂O₂工艺,且各活性参数随紫外线剂量的升高呈指数衰减;在达到较好的灭活效果时,UV工艺对藻液UV₂₅₄升高的控制优于H₂O₂工艺。

关键词:铜绿微囊藻; H₂O₂; 紫外线照射; 灭活; 光合活性

中图分类号:X173 文献标识码:A 文章编号:0250-3301(2010)08-1801-06

Comparison of H₂O₂ and UV Processes on the Inactivation Efficiency of *Microcystic aeruginosa*

GUO Jian-wei¹, ZHANG Yong-ji¹, ZENG Guo¹, ZHOU Ling-ling², GAO Nai-yun²

(1. Key Laboratory of Yangtze River Water Environment, Ministry of Education(Tongji University), Shanghai 200092, China; 2. State Key Laboratory of Pollution Control and Resource Reuse, Tongji University, Shanghai 200092, China)

Abstract: Setting *Microcystic aeruginosa* as study subject, the inactivation efficiency and its effect on photosynthetic activity by H₂O₂ and UV processes were investigated. The results showed that the inactivating efficiency increased with H₂O₂ dosage in the range of 0-2 mmol·L⁻¹, and the photosynthetic activity decreased with it gradually, but the efficiency wasn't enhanced when the dosage exceeded 2 mmol·L⁻¹. The inactivation by UV process was high. Under the algae concentration of 35×10⁸ cells/L, UV dosage of 91.8mJ/cm² was enough to inhibit its growth by 7d; UV process was superior to H₂O₂ in terms of photosynthetic activity, also the parameters could be fitted exponentially well; To guarantee high removal of algae, H₂O₂ must be dosed excessively, so UV₂₅₄ of algae solution would be higher than that of UV process.

Key words: *Microcystic aeruginosa*; H₂O₂; UV irradiation; inactivation; photosynthetic activity

高藻水处理是水处理界普遍关心的问题之一。高藻水一般具有高浊度、高有机物的特征,藻类的分泌物是饮用水消毒副产物的前体物,藻类的存在会消耗更多的混凝剂与消毒剂、产生堵塞滤池及在沉淀池或清水池池壁滋生黏泥等问题^[1]。鉴于水源水质的不断恶化及对给水厂出厂水水质的要求不断提高,寻找一种经济、高效且安全的除藻技术成为一个十分紧迫的问题。

投加硫酸铜或其它化学氧化剂虽然除藻效果显著,但由于对藻细胞的破坏,容易导致藻毒素的大量释放,并且投加的化学物质往往也会对水体产生二次污染^[2~4]。H₂O₂是一种无二次污染的氧化剂,其氧化还原电位高于KMnO₄,对藻类具有较好的灭活效果。紫外线技术可以有效地抑制藻类生长,由于不投加任何化学试剂,不会产生残留的有毒物质,是一种绿色高效的新型除藻技术^[5~8]。本研究对比了H₂O₂与UV工艺对铜绿微囊藻的灭活特点及活性的影

响,以期为实际应用提供理论指导。

1 材料与方法

1.1 铜绿微囊藻的培养

铜绿微囊藻藻种(FACHB-912)购自武汉水生生物研究所,采用BG11培养基进行培养。铜绿微囊藻母液在恒温培养箱中25℃±1℃下进行培养,培养箱内光照强度为1 500 lx,光暗周期为12 h:12 h。实验时,取一定量处于对数期的藻母液用灭菌BG11培养基稀释得到浓度为35×10⁸个/L的实验使用液。

1.2 实验过程

收稿日期:2009-08-24;修订日期:2010-02-10

基金项目:国家自然科学基金项目(50878164);长江水环境教育部重点实验室自主课题项目(YRWEY1001);国家水体污染防治与治理科技重大专项(2008ZX07422-005)

作者简介:郭建伟(1984~),男,硕士研究生,主要研究方向为水处理理论与技术,E-mail:guojianwei1@126.com

* 通讯联系人,E-mail:zhangyongji@tongji.edu.cn

1.2.1 紫外线实验

实验装置采用按国际紫外线协会推荐标准制作的准平行光束仪 (collimated beam apparatus), 装置如图 1 所示。紫外灯管安装在一个封闭的圆柱体内, 在筒体的底部中央开口, 下端接一段长度为 44 cm, 外径为 10.8 cm 的圆管, 紫外灯管功率为 75 W, 额定工作电压为 220 V。实验时取 40 mL 藻液, 采用 10.5 cm 直径的培养皿作反应器, 根据国际紫外线协会提供的计算表格计算紫外线的平均强度^[9, 10], 其平均光强为 0.153 mW/cm², 通过改变照射时间来获得不同的紫外线剂量。

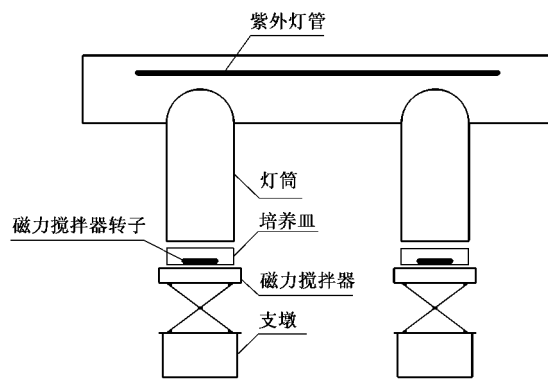


图 1 准平行光束仪装置示意

Fig. 1 Schematic diagram of collimated beam device

1.2.2 H₂O₂氧化实验

H₂O₂采用 30% 的分析纯, 每次使用前用 0.01 mol·L⁻¹ 的 KMnO₄ 标定其真实浓度。实验藻浓度为 35×10^8 个/L, 取 40 mL 的藻液分别投加 10、30、50、100、150、200 及 300 μL 的 8.8×10^{-2} mol/L 的 H₂O₂ 母液, 分别得到 2.2、6.59、10.99、21.98、39.57、52.76 及 79.14 mmol/L H₂O₂ 投加量。

1.3 实验方法

D_{680} 和 UV₂₅₄ 采用 UV1800 型紫外/可见分光光度计测定, 因 D_{680} 与叶绿素等含量成正比关系, 本研究中以 D_{680} 反映藻类的数量; 藻的光合量子产率 Y (Y 值反映藻细胞的光合效率) 及快速光响应曲线 (rapid light curves, RLC) 采用叶绿素荧光分析技术 (PHYTO-PAM, 德国 Walz 公司) 测定。快速光响应曲线的测量条件设定为: 步长 20 s, 最大光照强度 1 164 μmol·(m²·s)⁻¹。 α 、 P_m 、 L_k 由如下 RLC 方程拟合得到^[11, 12]。

$$P = P_m \cdot (1 - \alpha \cdot PAR/P_m) \cdot e^{-\beta \cdot PAR/P_m}$$

式中, PAR 为光强, $\mu\text{mol} \cdot (\text{m}^2 \cdot \text{s})^{-1}$; P 为相对电子

传递速率; P_m 为最大相对电子传递速率, 反映最大光合速率; α 为初始斜率, 反映了光能的利用效率; L_k 为半饱和光强, 反映了藻细胞对强光的耐受能力, $L_k = P_m/\alpha$ 。

2 结果与讨论

2.1 H₂O₂与 UV 工艺对铜绿微囊藻的灭活效果比较

2.1.1 高浓度 H₂O₂对铜绿微囊藻的灭活效果

从图 2 可见, H₂O₂对藻有较好的灭活效果, 如在 H₂O₂投加量为 2.2 mmol/L 时, 1 d 后其 D_{680} 为 0.086, 为初始的 53.09%; 4 d 后其 D_{680} 为 0.047, 为初始的 29.01%。H₂O₂在第 1 d 的去除率最高, 而后续 3 d 的去除率则较低, 这是因为 H₂O₂属于化学氧化灭活, 其效果比较明显但随着氧化剂的消耗及分解使得后期的灭活效果逐渐降低。此外, 增大投加量并未取得更高的灭活效果, 在 H₂O₂投加量为 79.14 mmol/L 时, 1 d 后其 D_{680} 为 0.087, 为初始的 53.70%; 4 d 后其 D_{680} 为 0.049, 为初始的 30.25%, 其投加量为 2.2 mmol/L 的近 36 倍, 而其灭活效果并无明显提高。

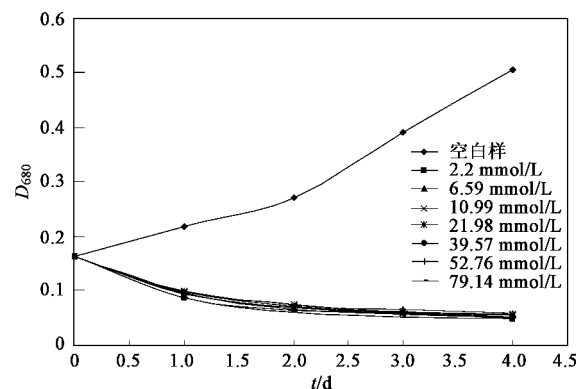


图 2 高浓度 H₂O₂对铜绿微囊藻生长曲线的影响

Fig. 2 Effects of high concentration H₂O₂ on growth curvature of *Microcystis aeruginosa*

一般来讲, 氧化剂的灭活机制主要是以下两方面: 第一步是氧化剂氧化破坏细胞壁和细胞膜; 其次是氧化剂扩散入细胞内进而灭活酶、破坏胞内物质及干扰蛋白质的合成。影响反应第一步的主要因素是氧化剂的标准氧化还原电位; 影响第二步扩散的主要因素是氧化剂的电荷、分子量以及半衰期。考虑到 H₂O₂的电位较高, 因此, 第二步传质反应是整个反应的控制步骤。H₂O₂分子较难进入细胞内部, 这可能是增大 H₂O₂的投加量, 其灭活效果并无明显提

高的原因。Mamane 等^[13,14]也发现单独 H₂O₂ 对 *E. coli*、*B. subtilis*、MS-2、T4 和 T7 基本无灭活效果,且·OH的灭活效果也较差,二者较难扩散到病毒及细菌细胞内可能是其较低消毒效率的主要原因。

2.1.2 低浓度H₂O₂对铜绿微囊藻的灭活效果

为了找到最佳的H₂O₂投加量,实验同时考察了0~2 mmol/L H₂O₂投加量的灭活效果。其结果见图3。结果表明,0.3 mmol/L 的H₂O₂投加量即开始出现明显的灭活效果。培养1 d后,其藻密度D₆₈₀=0.096,为初始值的61.94%;然而培养7 d后,其D₆₈₀=0.237,为初始值的153%,这表明H₂O₂的投加量较小,随着H₂O₂的浓度降低,其灭活抑制作用逐渐减弱。而在H₂O₂投加量为2 mmol/L时,培养1 d后其D₆₈₀为0.096,7 d后其D₆₈₀为0.045。与0.3 mmol/L效果相比较,发现第1 d的去除率并未随投加量的增大而显著提高,但在第7 d效果则十分明显。这表明,H₂O₂氧化除藻时在投加量达到一定值后,其短时间灭活效果并不会随投加量增大而显著提高,但增大投加量会起到延长抑制其生长的作用。将每一投加量下藻浓度开始出现增长的时刻与H₂O₂的投加量进行对比,其结果见表1。可以看出,H₂O₂投加量越大,其开始出现增长的时刻越晚,且增长时的藻密度越小,即说明投加量越大,灭活效果越好。

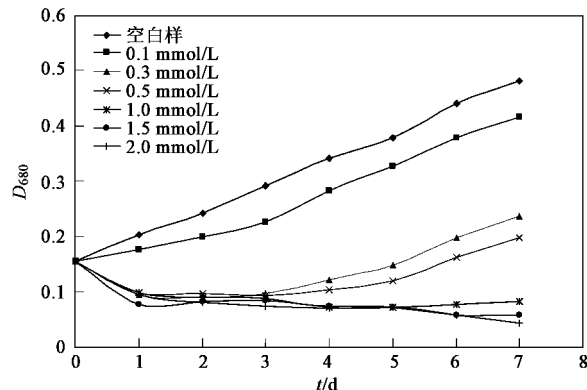


图3 低浓度H₂O₂对铜绿微囊藻生长曲线的影响

Fig. 3 Effects of low concentration of H₂O₂ on growth curvature of *Microcystis aeruginosa*

2.1.3 UV工艺对铜绿微囊藻的灭活效果

实验中藻的初始浓度约为35×10⁸个/L(D₆₈₀=0.155),紫外线光强为0.153 mW/cm²,照射时间为0、5、10、15、20、30、45、60 min得到相应的紫外线剂量为0、45.9、91.8、137.7、183.6、275.4、413.1、550.8 mJ/cm²。实验结果见图4。由图4可

知,紫外线对铜绿微囊藻有很好的灭活效果,并能显著抑制其生长。在紫外线剂量仅为91.8 mJ·cm⁻²下,铜绿微囊藻出现明显停滞生长现象。在该剂量下照射后1 d其D₆₈₀达到0.201,而对照组的D₆₈₀为0.249,藻密度相比降低近19.28%;而在紫外线剂量达到550.8 mJ·cm⁻²时,7 d后D₆₈₀仅为0 d时的21.52%,这说明在此剂量下,藻直接进入了衰亡期。紫外线可以破坏细胞的DNA,与细胞膜、线粒体或细胞膜内某些组分作用产生自由基、活性氧等,继而发生脂质过氧化反应,最终影响藻细胞的增殖。

表1 H₂O₂投加量与藻浓度开始增长时刻及藻密度的关系

Table 1 Relationship of initial increase time and algae

H ₂ O ₂ 浓度/mmol·L ⁻¹	藻浓度开始增长时刻/d	增长时的藻密度(D ₆₈₀)	备注
0	1	0.204	未进入衰亡期
0.1	1	0.177	未进入衰亡期
0.3	3	0.098	
0.5	4	0.104	
1.0	5	0.073	
1.5	>7	<0.058	
2.0	>7	<0.045	

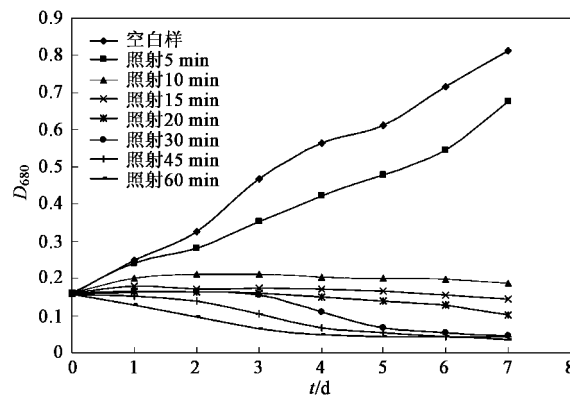


图4 UV工艺对铜绿微囊藻的灭活效果

Fig. 4 Effects of UV dosages on growth curvature of *Microcystis aeruginosa*

对比UV与H₂O₂的灭活曲线可以发现,UV的灭活相对比较缓和,经紫外线照射的藻,其生长活性迅速减弱,但并不会迅速导致大量细胞死亡。紫外线剂量≥91.8 mJ·cm⁻²时在随后的7 d内基本处于停滞生长或衰亡期;而H₂O₂的灭活则比较迅速,1 d后藻的去除率为最高,但在H₂O₂投加量小(<2 mmol·L⁻¹)时,藻会较快的恢复生长。从来讲,UV的灭活效果要优于H₂O₂工艺。

2.2 H₂O₂与UV工艺对铜绿微囊藻光合活性的影响

实验中藻的D₆₈₀=0.155,藻密度为35×10⁸

个/L。考察了0、0.1、0.3、0.5、1.0、1.5及2.0 mmol/L H₂O₂投加量下,反应15 min后光合活性的变化。结果见表2。

表2 H₂O₂投加量对藻光合活性的影响
Table 2 Effects of dosages of H₂O₂ on photosynthetic activity of *Microcystis aeruginosa*

H ₂ O ₂ 浓度/mmol·L ⁻¹	Y	α	P _m	L _k
0	0.43	0.184	90.7	493.1
0.1	0.42	0.184	35.4	191.7
0.3	0.36	0.157	28.2	180.4
0.5	0.30	0.133	19.6	147.1
1.0	0.25	0.113	11.3	100.2
1.5	0.24	0.111	9.5	85.7
2.0	0.20	0.111	8.2	73.4

从表2可见,在H₂O₂投加量为0.1 mmol/L下,15 min后其Y值为0.42,相对空白样仅降低了2.33%;而投加0.3 mmol/L时,其Y值降低为0.36,相比空白样降低了16.28%。因此,在实验条件下,0.3 mmol/L的投加量下开始出现明显的灭活效果。当投加量增大到2.0 mmol/L时,其Y值则进一步降低至0.20。α值及P_m的变化与Y值的变化趋势相似。但α值的变化相对P_m的变化较小。在H₂O₂投

加量为0~2 mmol/L下,α值在0.111~0.184,最大变化率为65.77%;而P_m值在8.2~90.7之间,最大变化率达到90.96%。L_k的变化也呈现随H₂O₂的投加量增大而显著下降。空白样值高达493.1;而投加量为0.3 mmol/L时其L_k仅为180.4。将各个参数与H₂O₂的投加量进行指数拟合,见表3。发现除了Y值的变化趋势符合指数函数外,其余参数呈指数衰减的程度较小(R²较小),而UV灭活时各个活性参数均呈现较好的指数衰减,并且光合活性参数下降迅速,见表4、表5。这是因为UV与H₂O₂的灭活机制不同所致,UV主要是通过破坏藻细胞的DNA并影响其光合作用,藻细胞类囊体膜上存在2种光系统:光系统I(PS I)和光系统II(PS II)。现有研究已经表明,紫外线辐射对PS II的影响更显著^[15,16]。紫外线辐射会降解叶绿素,同时会使PS II的D1蛋白被破坏,使其电子传递受阻,叶绿素吸收光而激发的高能电子传不出去,积累的能量导致叶绿素的卟啉环发生氧化-开环,光系统反应中心失活,PS II的电子传递效率降低^[17,18]。而H₂O₂则主要是靠氧化作用,当氧化剂投加到一定量时,传质过程成为反应的控制阶段,因而此时再增加氧化剂的量反应效果并未明显提高。

表3 光合活性参数的拟合结果(H₂O₂工艺)
Table 3 Fitting of photosynthetic activity parameters of *Microcystis aeruginosa* (H₂O₂ process)

项目	Y	α	P _m
拟合方程 ¹⁾	$Y = 0.4049e^{-0.3762c}$	$\alpha = 0.1711e^{-0.273c}$	$P_m = 44.91e^{-1.0117c}$
相关系数R ²	0.9296	0.8048	0.7989

1)式中c为H₂O₂的浓度

表4 紫外线剂量对铜绿微囊藻光合活性的影响
Table 4 Effects of UV doses on photosynthetic activity of *Microcystis aeruginosa*

紫外线剂量/mJ·cm ⁻²	Y	α	P _m	L _k
0	0.44	0.191	59	311.4
45.9	0.37	0.159	56.1	424.4
91.8	0.26	0.112	41.9	342.7
137.7	0.20	0.107	25.3	275.1
183.6	0.13	0.066	22	328
275.4	0.06	0.028	11	253.4
413.1	0.03	0.015	3.7	175.3
550.8	0.02	0.012	0.6	39.2

2.3 H₂O₂与UV工艺对藻液UV₂₅₄的影响

2.3.1 H₂O₂工艺对藻液UV₂₅₄的影响

为了保证较好的灭活效果,实验条件同2.1.1节中高浓度H₂O₂实验,结果见图5。从图5可以发现,H₂O₂的投加量对藻液UV₂₅₄的含量有显著影响,

在H₂O₂投加量为0 mmol/L时,1 d后其UV₂₅₄为0.09,增加了9.76%,4 d后其UV₂₅₄为0.107,增加了30.49%;而在H₂O₂投加量为79.14 mmol/L时,1 d后其UV₂₅₄为0.652,增加了695%,4 d后其UV₂₅₄为0.553,增加了674%。对于未投加H₂O₂的藻液,其UV₂₅₄随时间逐渐增加,这是由于藻液浓度增加所致,将UV₂₅₄与D₆₈₀进行线性拟合,得到方程为:

$$\text{UV}_{254} = 0.0592D_{680} + 0.0727 \quad (R^2 = 0.7551)$$

对于投加H₂O₂的藻液,其UV₂₅₄在第1 d达到最高值,且峰值与H₂O₂的投加量呈线性关系,线性拟合方程为:

$$\text{UV}_{254} = 0.0071[\text{H}_2\text{O}_2] + 0.1196 \quad (R^2 = 0.9839)$$

之后随时间逐渐降低,但降低的幅度有限,这是

表5 光合活性参数的拟合结果(UV工艺)

Table 5 Fitting of photosynthetic activity parameters of *Microcystis aeruginosa* (UV process)

项目	Y	α	P_m
拟合方程 ¹⁾	$Y = 0.4281e^{-0.0554D}$	$\alpha = 0.1869e^{-0.0509D}$	$P_m = 82.5311e^{-0.0754D}$
相关系数 R^2	0.9767	0.9582	0.9737

1)式中 D 为紫外线剂量

因为H₂O₂对藻毒素等强紫外吸收物质的降解能力较差。现有研究已经表明,单独H₂O₂对MC-LR基本无降解,这是由于H₂O₂氧化能力(电极电位1.77 V)不足以破坏MC-LR的化学键^[19]。

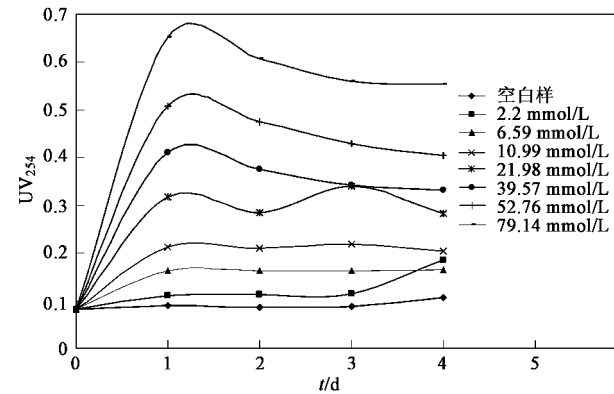
图5 不同H₂O₂投加量对藻液UV₂₅₄的影响

Fig. 5 Effects of H₂O₂ dosages on UV₂₅₄ of *Microcystic aeruginosa* solution

2.3.2 UV工艺对藻液UV₂₅₄的影响

实验中藻的 $D_{680} = 0.155$, 藻密度为 35×10^8 个/L。实验中考察了紫外线照射时间分别为5、10、30、60、120及180 min对藻液UV₂₅₄的影响,对应的紫外线剂量分别为45.9、91.8、275.4、550.8、1101.6及1652.4 mJ·cm⁻²。结果见图6。结果表明,照射时间低于30 min时,其UV₂₅₄并无明显提高,照射30 min时,4 d后其UV₂₅₄比空白样甚至低

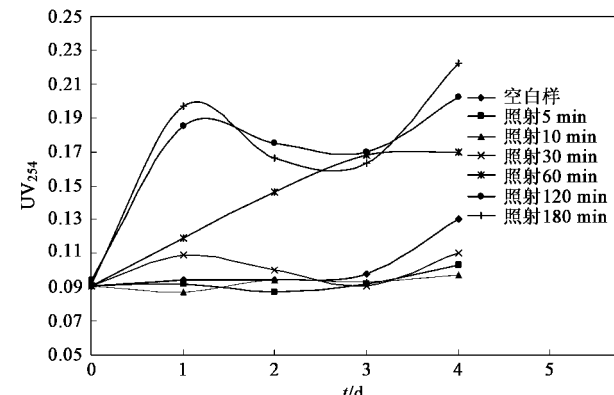
图6 不同紫外线剂量对藻液UV₂₅₄的影响

Fig. 6 Effects of UV dosages on UV₂₅₄ of *Microcystic aeruginosa* solution

15.39%;而照射60 min时,其UV₂₅₄为0.17,增大30.77%;继续增大紫外线剂量,UV₂₅₄含量继续增大,照射180 min 4 d后,UV₂₅₄则增至0.222。

对比UV与H₂O₂工艺对藻液UV₂₅₄的影响。可以发现,UV工艺对藻细胞的破坏程度较小,而H₂O₂在达到较好的灭活效果时,对藻细胞的破坏程度很大。

3 结论

(1) H₂O₂对铜绿微囊藻有一定的灭活效果,在H₂O₂投加量<2 mmol/L条件时,随着H₂O₂的投加量增加,对铜绿微囊藻的灭活效果不断提高,在H₂O₂投加量>2 mmol/L条件下,增大H₂O₂的投加量对铜绿微囊藻灭活效果提高较少。

(2) UV工艺对铜绿微囊藻有较好的抑制生长作用,91.8 mJ·cm⁻²的紫外剂量可对 35×10^8 个/L浓度的藻产生7 d以上的抑制作用,增大紫外线剂量,灭活效果不断提高。

(3) H₂O₂对铜绿微囊藻光合活性的降低效率不如UV工艺,UV工艺时光合活性参数随紫外线剂量的升高均呈明显的指数衰减。

(4) UV工艺比H₂O₂工艺更有利于控制灭活藻过程中藻液UV₂₅₄的升高,因此,紫外线技术相对化学氧化灭藻技术有较好的安全优势。

参考文献:

- [1] 贾瑞宝,周善东.城市供水藻类污染控制研究[M].济南:山东大学出版社,2006.
- [2] La M A, Prepas E, Spink D, et al. Control of hepatotoxic phytoplankton blooms implication for human health[J]. Water Res, 1995, 29(8):1845-1854.
- [3] Rodriguez E M, Acero J L, Spoof L, et al. Oxidation of MC-LR and-RR with chlorine and potassium permanganate: Toxicity of the reaction products[J]. Water Res, 2008, 42(6):1744-1752.
- [4] Daly R I, Lionel H O, Brookes J D, et al. Effect of chlorination on *Microcystis aeruginosa* cell integrity and subsequent microcystin release and degradation[J]. Environ Sci Technol, 2007, 41(12):4447-4453.
- [5] 樊杰,陶涛,张顺,等.紫外线对给水除藻作用的研究[J].工业用水与废水,2005,36(6):17-20.
- [6] Alam M Z B, Otaki M, Furumai H, et al. Direct and indirect inactivation of *Microcystis aeruginosa* by UV radiation[J]. Water

- Res, 2001, **35**(4):1008-1014.
- [7] 樊杰, 陶涛, 张顺, 等. 紫外光预处理与预氯化强化除藻的作用比较[J]. 工业用水与废水, 2005, **36**(5):24-26.
- [8] 景江, 周明, 汪星, 等. H₂O₂与UV-C灭藻的协同效果研究及工程实验[J]. 环境科学研究, 2006, **19**(6):59-63.
- [9] Linden K G, Shin G A, Sobsey M D. Relative efficacy of UV wavelengths 246 nm for the inactivation of *Cryptosporidium parvum* [J]. Wat Sci Technol, 2001, **43**(12):171-174.
- [10] Sommer R, Pribil W, Appelt S, et al. Inactivation of bacteriophages in water by means of non-ionizing (UV-253.7 nm) and ionizing (gamma) radiation: a comparative approach [J]. Water Res, 2001, **35**(13):3109-3116.
- [11] 韩博平, 韩志国, 付翔. 藻类光合作用机理与模型[M]. 北京: 科学出版社, 2003. 57-78.
- [12] 韩志国, 雷腊梅, 韩博平. 利用调制荧光仪在线监测叶绿素荧光[J]. 生态科学, 2005, **24**(3):246-249.
- [13] Watts R J, Kong S, Orr M P, et al. Photocatalytic inactivation of coliform bacteria and viruses in secondary wastewater[J]. Water Res, 1995, **29**(1):95-100.
- [14] Mamane H, Shemer H, Linden K G. Inactivation of *E. coli*, *B. subtilis* spores, and MS-2, T-4, and T-7 phage using UV/H₂O₂ advanced oxidation[J]. J Hazard Mater, 2007, **146**(3):479-486.
- [15] Okada M, Kitajima M, Budde W L. Inhibition of photosystem I and photosystem II in chloroplasts by UV radiation[J]. Plant Cell Physiol, 1976, **17**:35-43.
- [16] Van T K, Corrad L A, West S H. Effect of 298 nm radiation on photosynthetic reactions of leaf discs and chloroplast preparations of some crop species[J]. Environ Exp Bot, 1977, **17**:107-112.
- [17] Vass I, Sass L, Spetea C, et al. UV-B induced inhibition of photosystem II electron transport studied by EPR and chlorophyll fluorescence. Impairment of donor and acceptor side components [J]. Biochemistry, 1996, **35**(27):8964-8973.
- [18] Chaturvedi R. Degradation and de novo synthesis of D1 protein and psbA transcript level in *Chlamydomonas reinhardtii* during UV-B inactivation of photosynthesis and its reactivation [J]. Bioscience, 2000, **25**(1):65-71.
- [19] 郭建伟, 高一, 殷娣娣, 等. UV/H₂O₂工艺降解微囊藻毒素-LR[J]. 环境科学, 2009, **30**(2):457-462.